

# Quadrangulations de surfaces

Matěj Stehlík

17/11/2020

22<sup>e</sup> Journées Graphes et Algorithmes

# **Introduction**

# Surfaces

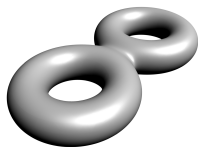
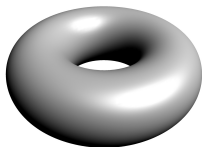
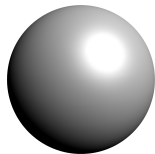
## Définition

Une **surface** (fermée) est un espace topologique où le voisinage de tout point ressemble au plan.

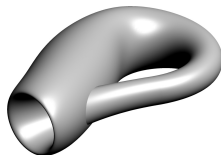
- Deux types de surfaces : orientable et non orientables.
- Toute surface **orientable** peut être construite à partir de la sphère en ajoutant des “anses”.
- Le nombre des anses : le **genre** de la surface.
- Toute surface **non orientable** peut être construite à partir de la sphère en ajoutant des “cross-caps”.
- Le nombre des cross-caps : le **genre** de la surface.

## Quelques exemples de surfaces

- Surfaces orientables :

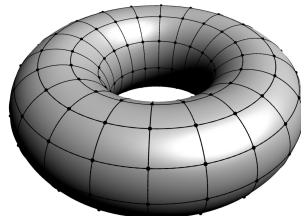
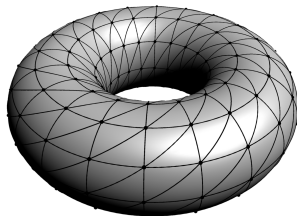


- Surfaces non orientables :



## Triangulations et quadrangulations

- Graphe  $G$  plongé dans une surface : dessin de  $G$  dans la surface de sorte que ses arêtes s'intersectent uniquement en leurs extrémités
- Triangulation : faces bordées par 3 arêtes
- Quadrangulation : faces bordées par 4 arêtes



## Le plan projectif réel

- Surface non orientable de genre 1.
- Pas réalisable en 3 dimensions, mais plusieurs modèles:
  1. Recoller un ruban de Möbius et un disque le long de leur bord

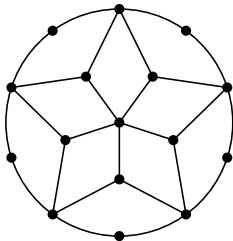
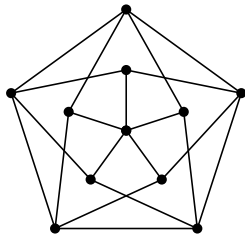


2. Un disque où l'on a identifié les points antipodaux de la circonférence
3. Une sphère où l'on a identifié les points antipodaux

## Quadrangulations du plan projectif

Deux représentations utiles des quadrangulations projectives :

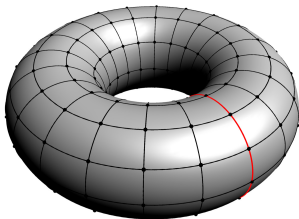
- quadrangulation du disque symétrique sur le bord où l'on identifie les sommets et les arêtes antipodaux sur le bord.
- quadrangulation symétrique de la sphère où l'on identifie les sommets et les arêtes antipodaux.



## Graphes localement planaires

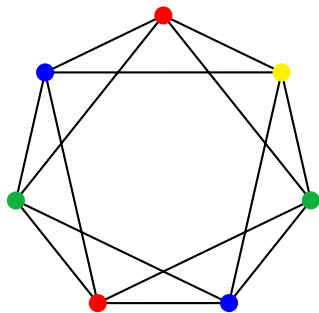
### Définition

- Soit  $G$  un graphe plongé dans une surface autre que la sphère.
- La **largeur en arêtes**  $ew(G)$  est longueur minimale d'un cycle non contractile dans  $G$ .



## **Coloration**

## Coloration et nombre chromatique



$$\chi(G) = 4$$

- $k$ -coloration: attribution de  $k$  couleurs aux sommets t.q. sommets adjacents reçoivent des couleurs différentes.
- Nombre chromatique  $\chi(G)$ : entier  $k$  minimum t.q. il existe une  $k$ -coloration de  $G$ .

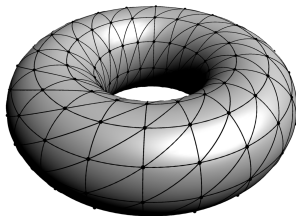
## Coloration de triangulations

### **Théorème (Thomassen 1997)**

Soit  $S$  une surface autre que la sphère. Toute triangulation de  $S$  de largeur en arêtes suffisamment grande est 5-coloriable.

### **Théorème (Fisk 1978)**

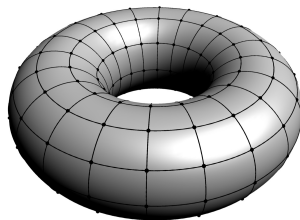
Soit  $S$  une surface autre que la sphère. Il existe des triangulations de  $S$  de largeur en arêtes arbitrairement grande qui ne sont pas 4-coloriables.



## Coloration de quadrangulations des surface orientables

### **Théorème (Hutchinson 1995)**

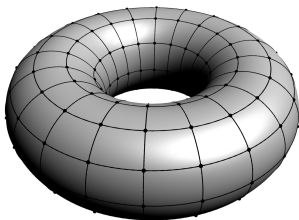
Soit  $S$  une surface **orientable** autre que la sphère. Toute quadrangulation de  $S$  de largeur en arêtes suffisamment grande est 3-coloriable.



## Coloration de quadrangulations des surface orientables

### **Théorème (Hutchinson 1995)**

Soit  $S$  une surface **orientable** autre que la sphère. Toute quadrangulation de  $S$  de largeur en arêtes suffisamment grande est 3-coloriable.

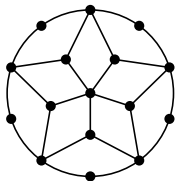
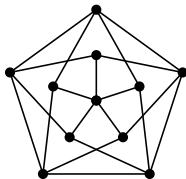


### **Théorème (Youngs 1996)**

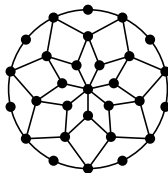
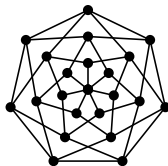
Toute quadrangulation du plan projectif est soit bipartie, soit 4-chromatique.

# Exemples de quadrangulations du plan projectif

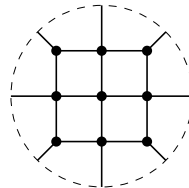
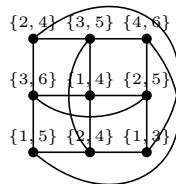
graphe de Grötzsch



graphe de Mycielski  
généralisé



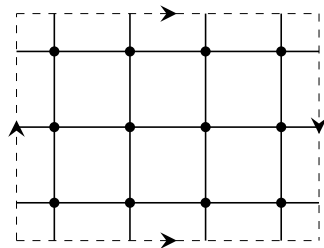
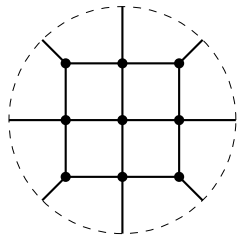
sous-graphe du graphe de  
Kneser  $KG(6, 2)$



## Coloration de quadrangulations des surface non orientables

**Théorème (Archdeacon et al. 2001 ; Mohar & Seymour 2002)**

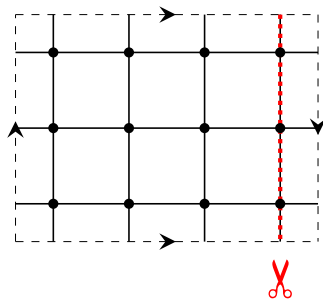
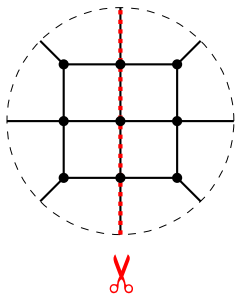
Soit  $G$  une quadrangulation d'une surface non orientable ayant un cycle impair  $C$  tel que si l'on découpe la surface selon  $C$ , on obtient une surface orientable. Alors,  $\chi(G) \geq 4$ .



## Coloration de quadrangulations des surface non orientables

**Théorème (Archdeacon et al. 2001 ; Mohar & Seymour 2002)**

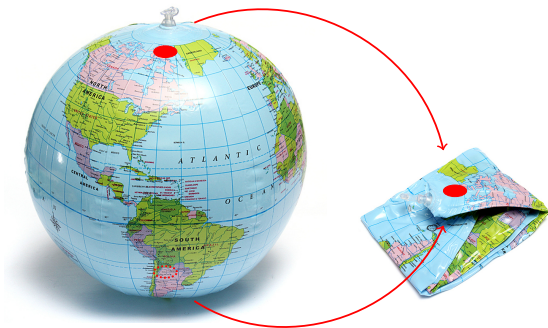
Soit  $G$  une quadrangulation d'une surface non orientable ayant un cycle impair  $C$  tel que si l'on découpe la surface selon  $C$ , on obtient une surface orientable. Alors,  $\chi(G) \geq 4$ .



# Le théorème de Youngs : manifestation du théorème de Borsuk–Ulam

## Théorème de Borsuk–Ulam (Borsuk 1933)

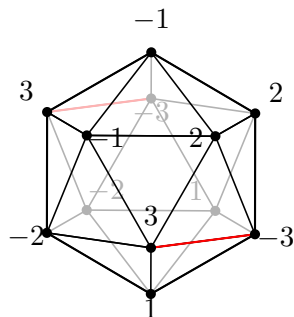
Pour toute fonction  $f$  continue d'une sphère dans le plan euclidien, il existe deux points antipodaux ayant même image par  $f$ .



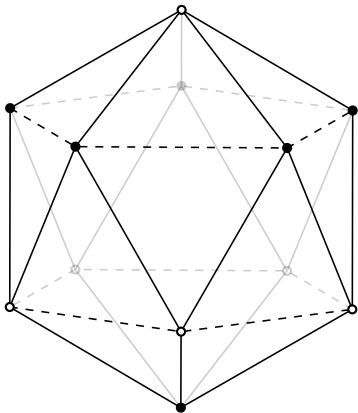
## Une version discrète de Borsuk–Ulam

### Lemme de Fan

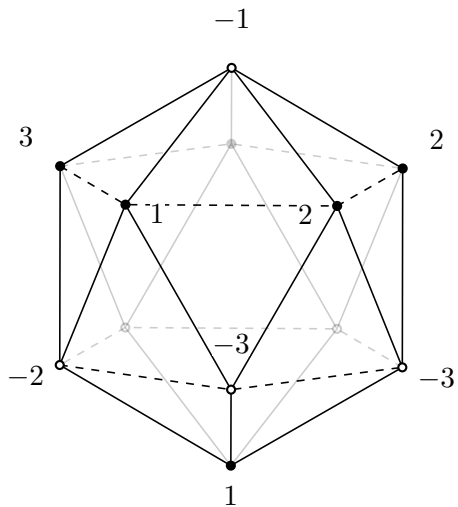
- Soit  $K$  une triangulation symétrique de la sphère.
- Soit  $\lambda : V(K) \rightarrow \{\pm 1, \pm 2, \pm 3\}$  un étiquetage où  $\lambda(-v) = -\lambda(v)$  pour tout  $v \in V(K)$  et toute face est incidente à des sommets positifs et négatifs.
- Alors, il existe une arête  $uv \in K$  t.q.  $\lambda(u) + \lambda(v) = 0$ .



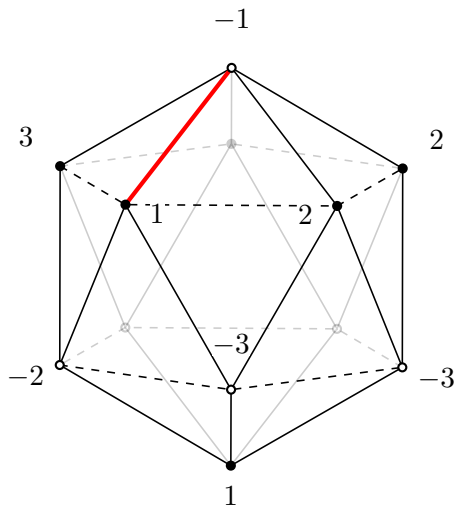
## Démonstration du théorème de Youngs



## Démonstration du théorème de Youngs



## Démonstration du théorème de Youngs



## Généralisation à une dimension supérieure

- D'autres preuves du théorème de Youngs plus élémentaires sont connues.
- Notre preuve montre que Youngs est équivalent à Borsuk–Ulam (2-dimensionnel).
- La preuve se généralise facilement aux dimensions supérieures.

### **Théorème (Tomáš Kaiser & MS 2015)**

Soit  $G$  une quadrangulation de l'espace projectif de dimension  $d$ . Alors,  $\chi(G) \geq d + 2$ , sauf si  $G$  est biparti.

## Application aux graphes de Kneser

### **Théorème (Tomáš Kaiser & MS 2017)**

Le graphe de Kneser  $KG(n, k)$  contient une quadrangulation non bipartie de l'espace projectif de dimension  $n - k$ .

- En conjonction avec le théorème de Youngs généralisé, on retrouve :

### **Théorème (Lovász 1978)**

Le graphe de Kneser  $KG(n, k)$  est  $(n - 2k + 2)$ -chromatique.

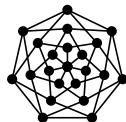
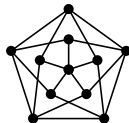
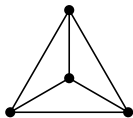
**Parfois, les surfaces  
apparaissent comme par  
magie...**

## Graphes localement bipartis

### Question (Erdős 1974)

Tout graphe 4-chromatique à  $n$  sommets a-t-il un cycle impair de longueur  $O(\sqrt{n})$ ?

- **Oui** (Kierstead, Szemerédi & Trotter 1984)
- Les graphes de Mycielski généralisés montrent que la borne est au moins  $\frac{1}{2}(1 + \sqrt{8n - 7})$ .



## A refinement of Erdős's question

### Conjecture (Louis Esperet & MS 2018)

Tout graphe 4-chromatique à  $n$  sommets a un cycle impair de longueur au plus  $\frac{1}{2}(1 + \sqrt{8n - 7})$ .

### Théorème (Louis Esperet & MS 2018)

La conjecture est vraie si tous les cycles impairs s'intersectent deux à deux.

- La preuve utilise les surfaces ! (Plus précisément, les quadrangulations du plan projectif.)

## Graphs sans deux cycles impairs sommet-disjoints

**Théorème (Lovász ~1990 ; Slilaty 2007 ; Kawarabayashi & Ozeki 2013)**

Soit  $G$  un graphe 4-connexe. Alors,  $G$  n'a pas deux cycles impairs sommet-disjoints ssi une des conditions suivantes est satisfaite :

1. il existe un sommet  $v$  tel que  $G - v$  est biparti
2. il existe un triangle avec arêtes  $e_1, e_2, e_3$  t.q.  $G - \{e_1, e_2, e_3\}$  est biparti
3.  $|V(G)| \leq 5$
4.  $G$  peut être plongé dans le plan projectif de sorte que toutes les faces sont bordées par un nombre pair d'arêtes.

## Courbes fermées dans le plan projectif

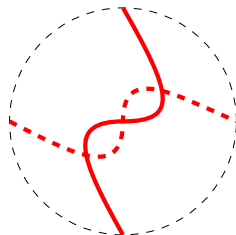
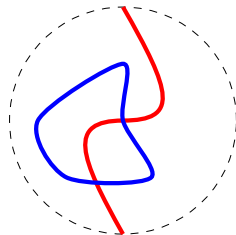
### Lemme

Le plan projectif a deux types de courbes simples fermées :

- les courbes **contractiles**
- les courbes **non contractiles**.

### Lemme

Deux courbes simples fermées non contractiles dans le plan projectif s'intersectent un nombre impair de fois.



## Cycles impairs dans les quadrangulations du plan projectif

### Lemme

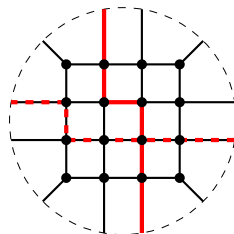
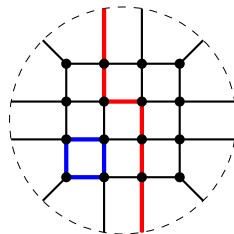
Une quadrangulation du plan projectif est bipartie



elle contient un cycle non contractile pair.

### Lemme

Les cycles impairs dans une quadrangulation (non bipartie) du plan projectif s'intersectent deux à deux.



## Largeur en arêtes des quadrangulations du plan projectif

### **Théorème (Louis Esperet & MS 2018)**

Si  $G$  est une quadrangulation du plan projectif avec  $f$  faces, alors

$$f \geq \frac{1}{2} \text{ew}(G)(\text{ew}(G) - 1).$$

La borne est atteinte par une famille infinie de graphes.

- La preuve utilise le théorème de Lins (1981).
- Liens avec la géométrie (*conjecture de la zone de remplissage*).
- L'analogue continu de la largeur en arêtes s'appelle la systole.

## Largeur en arêtes des quadrangulations du plan projectif

### **Théorème (Louis Esperet & MS 2018)**

Si  $G$  est une quadrangulation du plan projectif avec  $n$  sommets, alors

$$n - 1 \geq \frac{1}{2} \text{ew}(G)(\text{ew}(G) - 1).$$

La borne est atteinte par une famille infinie de graphes.

- La preuve utilise le théorème de Lins (1981).
- Liens avec la géométrie (*conjecture de la zone de remplissage*).
- L'analogue continu de la largeur en arêtes s'appelle la systole.

## Largeur en arêtes des quadrangulations du plan projectif

### **Théorème (Louis Esperet & MS 2018)**

Si  $G$  est une quadrangulation du plan projectif avec  $n$  sommets, alors

$$\text{ew}(G) \leq \frac{1}{2}(1 + \sqrt{8n - 7}).$$

La borne est atteinte par une famille infinie de graphes.

- La preuve utilise le théorème de Lins (1981).
- Liens avec la géométrie (*conjecture de la zone de remplissage*).
- L'analogue continu de la largeur en arêtes s'appelle la systole.